

11,12

## Термодинамические и магнитные свойства трехвершинной модели Поттса на треугольной решетке с учетом взаимодействия вторых ближайших соседей

© А.Б. Бабаев<sup>1,2</sup>, Т.Р. Ризванова<sup>1</sup>, А.К. Муртазаев<sup>1,3</sup>

<sup>1</sup> Институт физики им. Х.И. Амирханова ДагНЦ РАН, Махачкала, Россия

<sup>2</sup> Дагестанский государственный педагогический университет, Махачкала, Россия

<sup>3</sup> Дагестанский государственный университет, Махачкала, Россия

E-mail: b\_albert78@mail.ru

(Поступила в Редакцию 21 марта 2017 г.)

На основе метода Монте-Карло изучены термодинамические и магнитные свойства в двумерных структурах описываемых трехвершинной моделью Поттса на треугольной решетке с учетом первых и вторых ближайших соседей с величинами взаимодействия  $J_1$  и  $J_2$  соответственно. На основе анализа термодинамических параметров теплоемкости, параметра порядка, восприимчивости и кумулянтов Биндера четвертого порядка, показано, что в трехвершинной модели Поттса с величинами взаимодействия  $J_1 > 0$  и  $J_2 < 0$  в диапазоне значений  $0 \leq |r| \leq 1/3$ ,  $r = J_2/J_1$  наблюдается фазовый переход второго рода.

Работа поддержана грантом РФФИ № 16-02-00214.

DOI: 10.21883/FTT.2017.12.45242.084

В последнее двадцатилетие интенсивно обсуждаются фазовые переходы (ФП) и критические явления (КЯ) в магнетиках, описываемых двумерными (2D) решеточными моделями Изинга и Поттса [1–4]. Это связано с тем, что низко-размерные решеточные модели описывают большой класс реальных физических систем: слоистые магнетики, пленки жидкого гелия, сверхпроводящие пленки, адсорбированные пленки и др. [5,6]. Антиферромагнетик на треугольной решетке является примером фрустрированной спиновой системы. В качестве примера геометрической фрустрации можно привести антиферромагнитную модель Изинга на треугольной решетке с учетом взаимодействия только ближайших соседей. В ней невозможно, расположить все спины так, чтобы каждая пара взаимодействующих соседей была антипараллельна (рис. 1, *a*). Из рис. 1, *a* может показаться, что фрустрация возможна только на треугольных решетках, однако это не так. На рис. 1, *b* приведена трехвершинная антиферромагнитная (АФ) модель Поттса с учетом взаимодействия только первых ближайших соседей на той же треугольной решетке. Как видно из рисунка, при учете только ближайших соседей магнитная система будет упорядоченной при конечной температуре и фрустрации отсутствуют. При учете вторых ближайших соседей конкуренция обменных взаимодействий может привести к фрустрациям, т.е. такому пространственному расположению магнитных моментов атомов в кристалле, при котором невозможно одновременное антиферромагнитное упорядочение всех взаимодействующих спинов (см. рис. 1, *b*). Эффекты фрустраций играют важную роль в различных магнитных системах. Экспериментальные [7] и теоретические исследования [8] позволили

установить, что фрустрированные системы проявляют свойства, отличные от соответствующих нефрустрированных систем.

Двумерная трехвершинная модель Поттса на треугольной решетке для случая  $J_1 < 0$  и  $J_2 < 0$  нами исследовалась в работе [9,10]. В этих работах на основе анализа энтропии, теплоемкости, и кумулянтов Биндера четвертого порядка было показано, что при  $0 < r < 0.2$  и  $1.0 < r < 2.0$  наблюдаются фазовые переходы первого рода. В то время как в интервале  $0.2 \leq r \leq 1.0$  фазовый переход отсутствует, и наблюдаются фрустрации. Случай  $J_1 > 0$  и  $J_2 < 0$  был рассмотрен в работах [10,11] и было показано, что фрустрации в этом случае возникают в интервале изменений величины  $0.5 < |r| < 1.0$ . Поведение термодинамических и магнитных параметров при ФП в

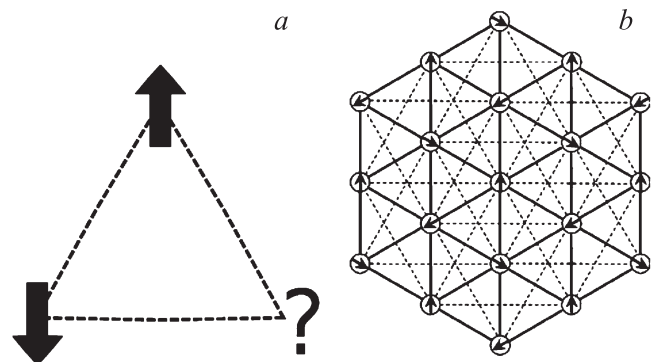


Рис. 1. Фрустрации в модели Изинга (*a*), трехвершинная модель Поттса на треугольной решетке (*b*).

этих работах не были изучены. Исследование особенностей термодинамических и магнитных параметров при ФП второго рода в 2D трехвершинной модели Поттса на треугольной решетке является главной задачей этой работы.

Трехвершинная ( $q = 3$ ) модель Поттса на треугольной решетке с учетом взаимодействия вторых ближайших соседей (см. рис. 1, *b*) описывается следующим микроскопическим гамильтонианом [5]:

$$H = -J_1 \sum_{i,j} \cos \theta_{i,j} - J_2 \sum_{i,k} \cos \theta_{i,k}, \quad (1)$$

где  $J_1$  и  $J_2$  — параметры обменных ферро- ( $J_1 > 0$ ) и антиферромагнитного ( $J_2 < 0$ ) взаимодействия для ближайших и вторых ближайших соседей соответственно.  $\theta_{i,j}$ ,  $\theta_{i,k}$  — углы между взаимодействующими спинами  $S_i - S_j$  и  $S_i - S_k$  соответственно. Модель Поттса с гамильтонианом вида (1) также хорошо описывает физические свойства многих неупорядоченных структур (см. [12,13]).

Расчеты проведены для систем с периодическими граничными условиями и с линейными размерами  $L \times L = N$ ,  $L = 18 \div 54$ . При этом отношение обменного взаимодействия вторых и ближайших соседей менялось в интервале  $0 \leq |r| \leq 1.0$ , где  $|r| \leq J_2/J_1$ . Кроме того, нами проведен анализ поведения термодинамических и магнитных параметров, определены температуры ФП и вычислены критические температуры. Начальные конфигурации задавались таким образом, чтобы все спины находились в разных состояниях. Для вывода системы в равновесное состояние вычислялось время релаксации  $\tau_0$  для всех систем с линейными размерами  $L$ . Затем усреднение проводилось по участку марковской цепи длиной  $\tau = 200\tau_0$ . Кроме того, для повышения точности расчетов проводилось усреднение по 10 различным начальным конфигурациям. Затем эти данные использовались для расчета средних значений термодинамических параметров.

Для наблюдения за температурным ходом поведения теплоемкости и восприимчивости нами использовались флуктуационные соотношения [14]

$$C = (NK^2)(\langle U^2 \rangle - \langle U \rangle^2), \quad (2)$$

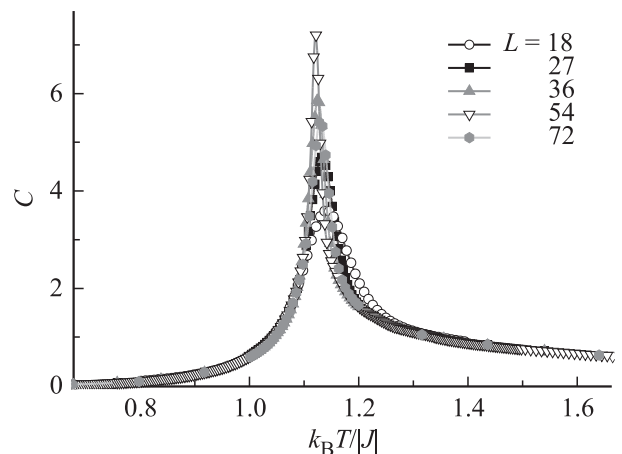
$$\chi = (NK)(\langle m^2 \rangle - \langle m \rangle^2), \quad (3)$$

где  $K = |J|/k_B T$ ,  $N = L^2$  — число узлов,  $U$  — внутренняя энергия,  $m$  — параметр порядка. В качестве параметра порядка  $m$  для ферро- ( $m_F$ ) и антиферромагнитной ( $m_{AF}$ ) модели Поттса использовались следующие выражения [15]:

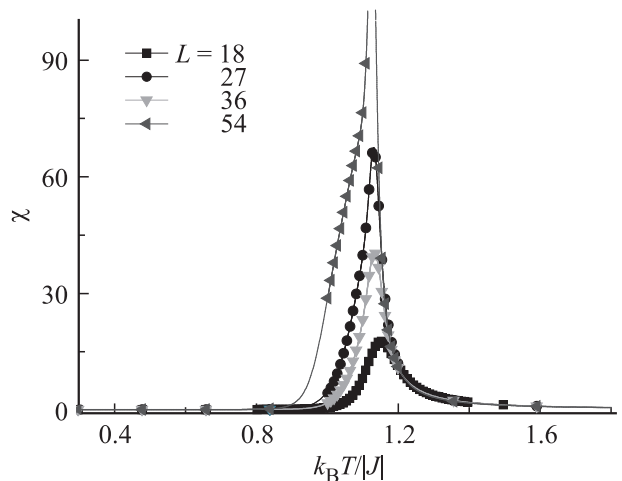
$$m_F = \left\langle \frac{3}{2} \sum_{\alpha=1}^3 \left( \frac{N_\alpha}{N} - \frac{1}{3} \right)^2 \right\rangle^{1/2}, \quad (4)$$

$$m_{AF} = \frac{3}{2} \left\langle \sum_{\alpha \neq \beta \neq \gamma} \left( \frac{N_\alpha + N_\beta + N_\gamma}{N} - \frac{1}{3} \right)^2 \right\rangle^{1/2}, \quad (5)$$

где  $N_\alpha = \{N_1, N_2, N_3\}$ ,  $N_1$  — число спинов в состоянии с  $q = 1$ ,  $N_2$  — число спинов в состоянии с  $q = 2$ ,



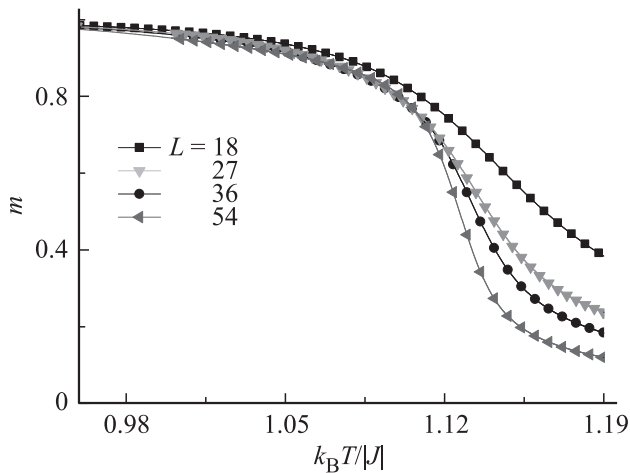
**Рис. 2.** Температурная зависимость теплоемкости  $C$  трехвершинной модели Поттса с величинами взаимодействий  $J_1 > 0$  и  $J_2 < 0$  при  $|r| = 0.333$ .



**Рис. 3.** Температурная зависимость восприимчивости  $\chi$  трехвершинной модели Поттса с величинами взаимодействий  $J_1 > 0$  и  $J_2 < 0$  при  $|r| = 0.333$ .

$N_3$  — число спинов в состоянии с  $q = 3$ ,  $N_\alpha$ ,  $N_\beta$ ,  $N_\gamma$  — число спинов в подрешетке  $A$ ,  $B$  и  $C$  соответственно,  $N = L^2$ . Угловые скобки означают термодинамическое усреднение.

На рис. 2 и 3 представлены характерные зависимости теплоемкости и восприимчивости для двумерной трехвершинной модели Поттса на треугольной решетке с величинами взаимодействия  $J_1 > 0$  и  $J_2 < 0$  при  $|r| = 1/3$ . Здесь и далее на всех рисунках погрешность данных не превосходит размеры символов, используемых для построения графиков. Отметим, что в зависимостях теплоемкости  $C$  и восприимчивости  $\chi$  от температуры для всех исследуемых нами систем проявляются четко выраженные максимумы, и эти максимумы в пределах погрешности приходятся на одну и ту же температуру. Такое же поведение для теплоемкости и восприимчивости наблюдалось для систем в интервале



**Рис. 4.** Температурная зависимость параметра порядка  $m$  трехвершинной модели Поттса с величинами взаимодействий  $J_1 > 0$  и  $J_2 < 0$ , при  $|r| = 1/3$ .

изменения  $0 \leq |r| \leq 1/3$ . Вне этого диапазона изменений  $r$ , как нами было отмечено в работах [10,11] проявляются эффекты, связанные с фрустрациями и ФП отсутствует. Аналогичное поведение в трехвершинной модели Поттса с величинами взаимодействий  $J_1 < 0$  и  $J_2 < 0$  наблюдалось в интервале изменений величины  $0.2 \leq |r| \leq 1.0$  [9].

На рис. 4 представлены температурные зависимости параметра порядка  $m$  для трехвершинной модели Поттса при  $J_1 > 0$ ,  $J_2 < 0$  и  $|r| = 1/3$  для систем с линейными размерами  $L = 18, 27, 36, 54$ . Как видно из рисунка, для всех рассмотренных систем с линейными размерами  $L$  наблюдается монотонное уменьшение величины  $m$  с увеличением температуры, что является характерным признаком ФП второго рода.

Для определения критических температур и анализа характера фазового перехода использовался метод кумулянтов Биндера четвертого порядка [16]

$$V_L(T) = 1 - \frac{\langle E^4 \rangle_L}{3 \langle E^2 \rangle_L^2}, \quad (6)$$

$$U_L(T) = 1 - \frac{\langle m^4(T, L) \rangle_L}{3 \langle m^2(T, L) \rangle_L^2}, \quad (7)$$

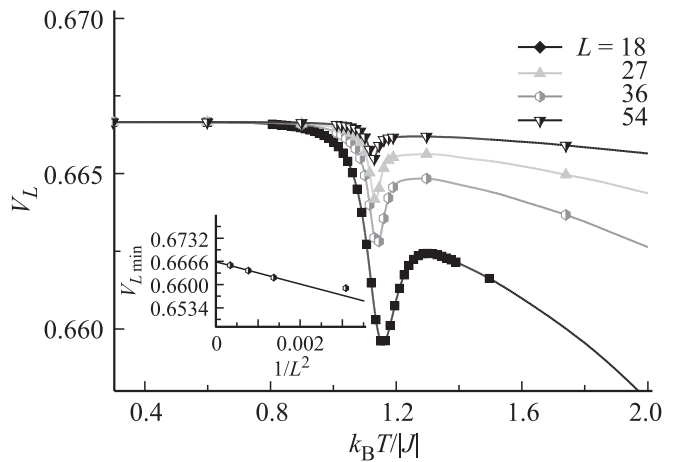
где  $E$  — энергия и  $m$  — параметр порядка системы с линейными размерами  $L$ . Выражения (6) и (7) позволяют с хорошей точностью определить  $T_c$  при фазовых переходах первого и второго рода соответственно. Следует отметить, что применение кумулянтов Биндера позволяет также хорошо тестировать род фазового перехода в системе. Методика определения критической температуры нами подробно описана в работах [17,18]. Известно, что фазовые переходы второго рода характеризуются, в частности, следующими отличительными особенностями [7]: усредненная величина  $V_L(T)$  стремится к тривиальному

значению  $V^*$  согласно выражению

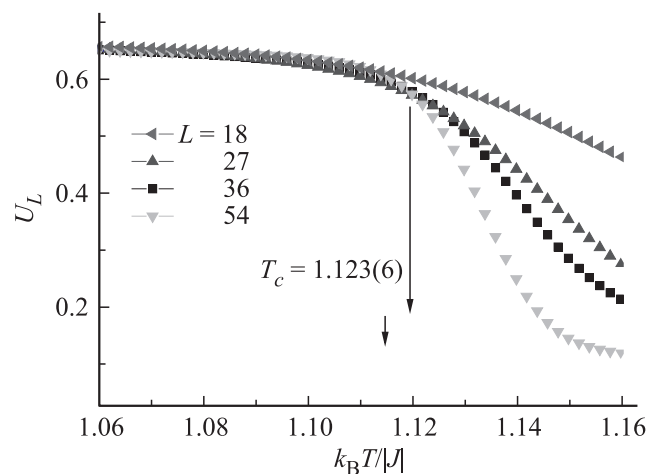
$$V(T) = V^* + bL^{-d} \quad (8)$$

при  $L \rightarrow \infty$  и  $T = T_c(L)$ , где  $V^* = 2/3$ , что и продемонстрировано на рис. 5. Кроме того, в случае ФП второго рода кривые температурной зависимости кумулянтов Биндера  $U_L(T)$  по параметру порядка  $m$  имеют четко выраженную точку пересечения. Характерные зависимости кумулянтов Биндера  $U_L(T)$  для 2D модели Поттса от температуры для систем с разными линейными размерами  $L$  приведены на рис. 6. Как видно из рис. 6 в критической области наблюдается четко выраженная точка пересечения, что и свидетельствует о ФП второго рода. Кроме того, этот рисунок демонстрирует, насколько точно можно определить критическую температуру  $T_c$ .

Таким образом, в трехвершинной модели Поттса с величинами взаимодействий  $J_1 > 0$  и  $J_2 < 0$  в интервале



**Рис. 5.** Температурная зависимость кумулянтов Биндера  $V_L(T)$  для двумерной модели Поттса с величинами взаимодействий  $J_1 > 0$  и  $J_2 < 0$ , при  $|r| = 1/3$ . На вставке приведена аппроксимация зависимостей  $V_{L,\min}$  от  $L$ .



**Рис. 6.** Температурная зависимость кумулянтов Биндера  $U_L(T)$  для трехвершинной модели Поттса с величинами взаимодействий  $J_1 > 0$  и  $J_2 < 0$ , при  $|r| = 1/3$ .

изменений величины  $0 \leq |r| \leq 1/3$  наблюдаются ФП второго рода. Вне этого интервала ФП отсутствует, что связано с вырождением основного состояния системы. Изучение значений  $r$  из указанного диапазона имеет большое значение при создании различных синтетических метамагнетиков и выяснения процесса упорядочения для антиферромагнитных материалов с треугольной структурой [2,8].

## Список литературы

- [1] H.T. Diep. Frustrated spin systems. World Scientific Publishing Co. Pte. Ltd., Singapore (2004).
- [2] С.В. Малеев. УФН **172**, 6, 617 (2002).
- [3] А.К. Муртазаев, А.Б. Бабаев. Изв. РАН. Сер. физ. **77**, 10, 1476 (2013).
- [4] Л.Н. Щур. УФН **182**, 7, 787 (2012).
- [5] F.Y. Wu. Rev. Mod. Phys. **54**, 235 (1982).
- [6] W. Zhang, Y. Deng. Phys. Rev. E **78**, 031103 (2008).
- [7] D. Loison, K.D. Schotte. Eur. Phys. J. B **5**, 735 (1998).
- [8] Р.С. Гехт. УФН **159**, 261 (1989).
- [9] А.К. Муртазаев, А.Б. Бабаев, М.А. Магомедов, Ф.А. Касан-Оглы, А.И. Прошкин. Письма в ЖЭТФ **100**, 267 (2014). [JETP Lett. **100**, 242 (2014)].
- [10] А.Б. Бабаев, М.А. Магомедов, А.К. Муртазаев, Ф.А. Касан-Оглы, А.И. Прошкин. ЖЭТФ **149**, 357 (2016). [JETP **122**, 310 (2016)].
- [11] А.Б. Бабаев, А.К. Муртазаев, Э.М. Сулейманов, Т.Р. Ризванова. ФТТ **58**, 10, 2001 (2016).
- [12] A.K. Murtazaev, A.B. Babaev. JETP **115**, 6, 1042 (2012).
- [13] А.К. Муртазаев, А.Б. Бабаев, Г.Я. Атаева. Физика низких температур. **39**, 2, 194 (2013). [Low Temperature Physics **39**, 2, 147 (2013)].
- [14] P. Peczas, A.M. Ferrenberg, D.P. Landau. Phys. Rev. B **43**, 6087 (1991).
- [15] Y. Saito. J. Phys. A **15**, 1885 (1982).
- [16] K. Eichhorn, K. Binder. J. Phys.: Condens. Matter **8**, 5209 (1996).
- [17] А.К. Муртазаев, А.Б. Бабаев. ЖЭТФ **143**, 1, 116 (2013). [JETP **116**, 1, 101 (2013)].
- [18] А.К. Муртазаев, А.Б. Бабаев. Письма в ЖЭТФ **99**, 9, 618 (2014). [JETP Lett. **99**, 9, 535 (2014)].